

報 文

화학공학 제 4 권 제 1 호

J. KICHE, Vol. 4, No. 1

April, 1966

低濃度 炭酸 칼시움 슬러리의 濾過抵抗에

미치는 濃度의 影響*

朴 元 圭** · 姜 錫 浩**

Effect of Slurry Concentration on the Filtration Resistances of the Dilute Calcium Carbonate Slurry

Won Kyu Park*, Suk Ho Kang*

*Dept. of Chem. Eng. Chung-gu College

The Korean diatomaceous earths as a filter aid is under the research. The American Decalite Speedplus as a standard to be compared with the natives was precoated on two kinds of filter media to filter the dilute calcium carbonate slurry.

The one filter-medium, glass filter, was used, but had poor reproducibility of its glass pores. The other filter-medium, a Büchner filtering funnel covered with a kind of plain-weaved nylon cloths, was appreciable for the vacuum filtration of the slurry. The mean specific cake resistance α and the filter-medium resistance R for these media were observed in the range of the slurry concentration from 0.1% to 1.0% by weight.

According to the gradual increasing of the CaCO_3 slurry concentrations, the mean specific cake resistance α are decreased and the filter medium resistances R are increased. As far as the thickness of the filter cake formed is of the range from 0.4cm to 1.5cm, the R/α ratios for the non-precoated glass filter are varied from 0.10 to 0.30, for the non-precoated nylon cloths and Büchner funnel; from 0.05 to 0.40, and for the precoated nylon cloths and Büchner funnel; from 0.05 to 0.20, respectively.

1. 緒 論

韓國의 몇 곳에서 產生되는 硅藻土의 濾過助劑로서의 開發에 대하여 研究하기 위한 基礎實驗으로서 美國商品인 Decalite Speedplus 를 濾過助劑로 擇하여 CaCO_3 슬러리를 leaf test filtration 하였다.

이 實驗은 固分濾過操作이기 때문에 簡單한 leaf filter로서 日本 磐田製의 glass filter 11 G 4 type 를 使用하

였으나 이것은 濾過膜을 이루는 glass pore의 再生性이 不良하고 長時間이 걸리기 때문에 많은 回收의 實驗을 할수가 없다⁽¹⁾. 따라서 再生時間이 긴 glass filter를 使用하는 대신에 Büchner funnel의 底面에 求하기 쉽고 價格이 싸므로 再生할 必要가 없는 市販의 Nylon을 布地濾過膜으로 깔아서 leaf filter에 대신하였다.

이때에 생기는 非定常의 因子는 nylon 布地의 平面積이 바로 濾過面積이 될수 없다는 事實이다. 그러나 實제로 cake의 堆積形態는 布地全面에 均一하게 堆積된다. 따라서 funnel底面은 대부분이 nylon 布地와 密着되어 濾過液의 흐름에 대하여 影響을 주게되지만 다

* 1966年 2月 12日 수리

** 青丘大學 工學部 化工科

朴, 美; 低濃度 炭酸 칼시움 슬리리의 濾過抵抗에 미치는 濃度의 영향

른 條件의 변화가 없다면 比較實驗으로서는 이 方法을 擇하여도 無妨하다고 생각된다.

이러한 Büchner funnel-Nylon 으로된 濾過膜으로 低濃度의 CaCO_3 슬리리를 濾過할 때, 여러 사람들이 提案한 比 cake 抵抗值와 濾過膜抵抗值⁽²⁾⁽³⁾가 筆者들의 實驗結果에 의하면 슬리리의 濃度에 따라서 변함을 알았고 그中 低濃度의 範圍인 1.0% 以下의 CaCO_3 슬리리에 대하여 그 抵抗值의 변화가 있음을 報告하며 앞으로 調查할 豫定인 韓國產硅藻土의 濾過助劑로서의 性能을 調査, 研究, 改善하는데 이 結果를 濾過助劑性能의 基準數值로 삼으려고 한다.

2. 實驗準備 및 方法

i) 裝置

〈Fig. 1〉과 같은 回分式 濾過裝置를 使用하였다⁽⁴⁾.

<Apparatus>

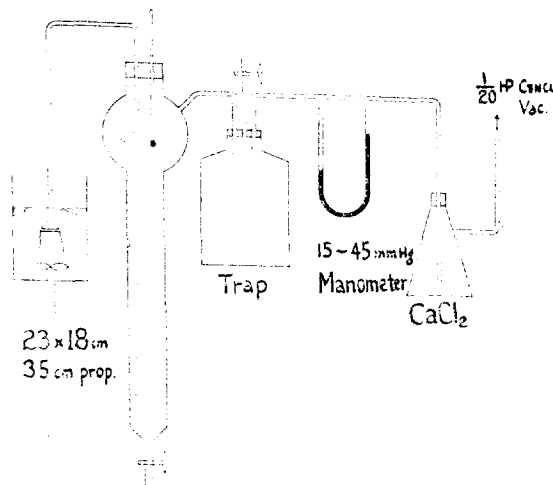


Fig. 1 The Schematic Diagram of Batch Filtration Apparatus

ii) 濾過膜

Glass filter: 日本磐田製 11 G 4 Type

(外徑: 50 mm, 깊이 52 mm, 底面直徑 42 mm 膜두께 2.5 mm)

Büchner funnel: 美國 Coors Porcelain Büchner type filtering funnel

(外徑 51 mm, 底面直徑 41 mm, 底面에 直徑 1.5 mm의 구멍이 37 個 있음)

Nylon 布地: 市販의 平織이며 平面構造의 顯微鏡寫眞은 〈Fig. 2〉와 같고 織物検査結果는 다음과 같다. 〈Table 1〉

Table. 1 The Inspection Data of Nylon Cloths Purchased.

Weight	73.6 g/m ²
Thread counts per inch	90×126
Weave pattern	plain
Twist	none
Filament	multifilament yarn

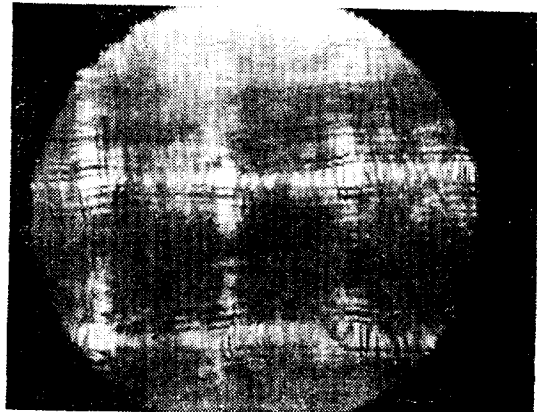


Fig. 2 Microscopic Photography of Nylon Cloths ($\times 450$)

iii) 試驗

CaCO_3 슬리리는 工業用粉末를 120~200 mesh의 것으로 分離하여 使用하였고 슬리리의 濃度는 0.1, 0.3, 0.5, 0.8, 1.0%로 하였다.

濾過助劑는 美國產 Decalite Speedplus 를 그대로 使用하였고 國產硅藻土는 廣州產原鑽을 粉碎하여 150~200 mesh의 것을 6 N H_2SO_4 로 24 時間 浸漬한 뒤에 乾燥해서 900°C에서 3 時間 煙燒하였다. 本實驗에서 국산硅藻土를 위와 같이 處理한 製品의 性能은 不良하기 때문에 〈Fig. 3-a〉에 “K”로서 特性曲線만 表示하였고 濾過抵抗에 대한 實驗은 하지 않았다.

濾過助劑는 一回의 實驗에 대하여 0.5 g 을 물에 혼탁시켜서 바로 세워둔 funnel에 옮겨沈降시킨 후 真空 pump로吸引하여 precoating하여 슬리리 맹크속에 거꾸로 넣을 수 있게 하였다.

iv) 方法

① 各濃度의 슬리리를 4 l 들이 4-baffled tank에서 propeller 型 교반기로 혼탁시키고 leaf filter (Nylon 或은 Glass 系)를 濾液收集管에 연결하여 pump를 移動한 다음 filter를 슬리리 속에 담근 때부터의 時間과 濾液의 부피 및 壓力を 測定하였다.

② 一回의 實驗에 있어서 減度變化는 $\pm 1^\circ\text{C}$ 이고 全 實驗을 通한 減度의 變化는 10~20°C였다. 初期의 濾過는 定壓濾過도 아니고 定率濾過도 아닌 形態(FIG. 3-a, b)였으나 大部分의 實驗에서 濾過時間의 1/3 을 經過하면 -15 mm Hg 程度의 定壓이 되므로 全體 實驗을

定壓濾過로 看做하였다. 減壓으로 因한 蒸發水分의 量은 無視하였고 Nylon 布地를 濾過膜으로 取한 경우에는 thread 間隔으로 因한 sludge 的 流出로 생기는 turbidity⁽⁵⁾에 대한 考慮는 하지 않았다.

③ 濾過後에 cake 的 두께를 채고 wet cake 와 dry cake 的 무게를 쟤다.

④ 混合效果, 그외의 實驗操作의 良, 不良을 判斷하기 위하여 dry cake 와 總濾液부피의 比, 즉 “計算濃度”를 調査하여 良好한 結果에 對하여 단比 cake抵抗과 濾過膜抵抗을 계산하였다. 計算式은 B. F. Ruth⁽³⁾와 H. P. Grace⁽²⁾가 提案한 式을 利用하였고 實際方法은 McMillen⁽⁶⁾等의 것을 따랐다.

⑤ Precoating 한 경우에는 precoating 物質을 濾過膜이라고 생각하여 計算하였다.

3. 實驗結果 및 考察

CaCO_3 슬러리의 濃度를 5種으로 定하고 各濃度에 대하여 Nylon 布地膜, Decalite Speedplus로 precoating한 Nylon 布地膜, 및 precoating 하지 않은 Glass filter 등 3種의 濾過膜에 대하여 施行한 結果를 <Fig. 3-a, b>에 나타냈다. 各 實驗值는 3~5回의 平均值이다.

ii) Precoating with D.S.P. and Native

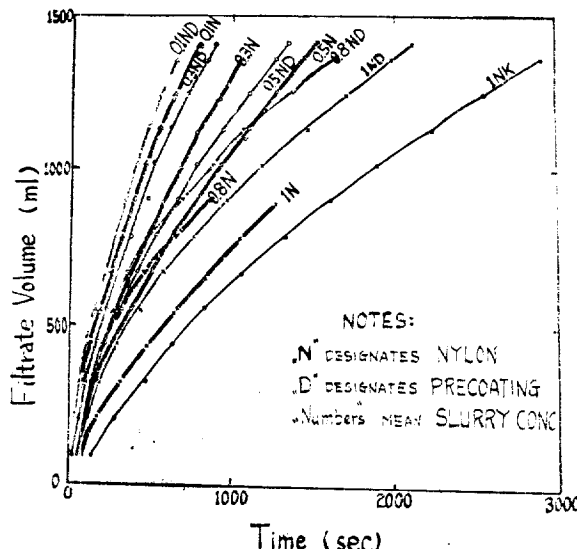


Fig. 3-a Filtration Curves Using Nylon Media.

濃度와 濾過膜의 種類에 따라서 달라지는 濾過特性曲線<Fig. 3-a, b>을 이루는 實驗值로부터 平均比 cake抵抗이나 濾過膜抵抗値를 計算하는 것은 Kozeny⁽⁷⁾等이 提案한 定壓濾過方程式을 利用한다. 또, 서로 다른 종류의 濾過膜에 대한 性能을 比較하는데는 Ehlers⁽⁸⁾⁽⁹⁾의

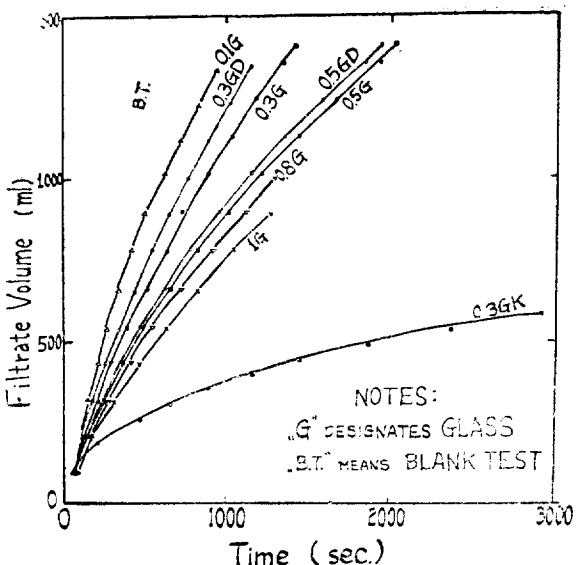


Fig. 3-b Filtration Curves Using Glass Media.

方法이 있다.

그러나 Kozeny의 方程式은 Ruth에 依하여 修正되었으며 Ruth의 解析을 따르면, 各 實驗值로부터 濾過常數 C , 假想的濾液부피 V_f ⁽³⁾, 平均比 cake抵抗 α , 및 濾過膜抵抗 R 을 다음式으로 계산할 수가 있다. 즉

B. F. Ruth 와 H. P. Grace에 依하여

$$\alpha = \frac{2 A^2 g_c \Delta P (1 - m\omega)}{\rho \mu \omega} \frac{1}{C} \quad (1)$$

$$R = \frac{\rho \omega}{A} \times \frac{\omega \alpha V_f}{(1 - m\omega)} \quad (2)$$

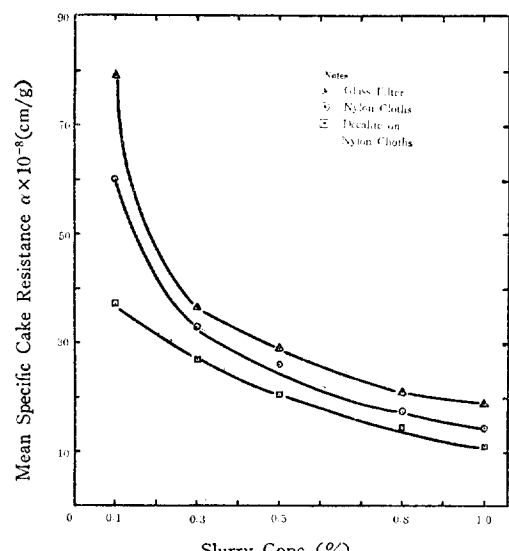


Fig. 4 The Mean Specific Cake Resistances Changing with the Slurry Concentration.

로 表示된다.

위의 (1), (2)式에 依하여 計算된 α 와 R 값이 슬러리의 濃度에 따라서 어떻게 달라지는가를 〈Fig. 4〉와 〈Fig. 5〉에 實線으로 表示하였다.

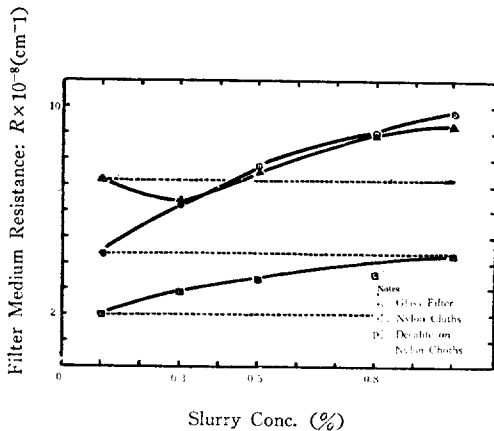


Fig. 5 The Filter Medium Resistances Changing with the Slurry Concentration.

여기서 濾過常數 C 가 어떤 슬러리의 種類에 관계가 되더라도 그 濃度에는 관계가 없이一定한 常數라고假定하면 平均比 cake 抵抗 α 의 値은 濃度에만 影響을 받으며 그값은 0.1% CaCO_3 슬러리의 濾過에서 決定되는 濾過常數의 値을 基準으로 할때 앞에 세운 假定의 結果로써 〈Fig. 6〉의 點線으로 表示된다. 그럼에 表示된 點線은 3種의 濾過膜에 대하여 앞의 假定을 利用한 計算結果이고 각각의 濾過膜에 대하여 한결 비슷

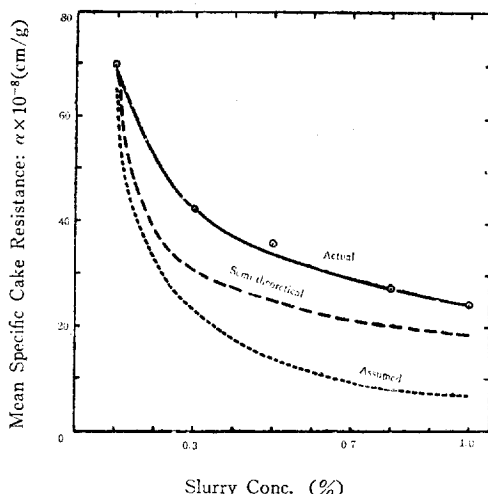


Fig. 6-a. α Changing with the Slurry Concentration for the Non-precoated Nylon Cloth.

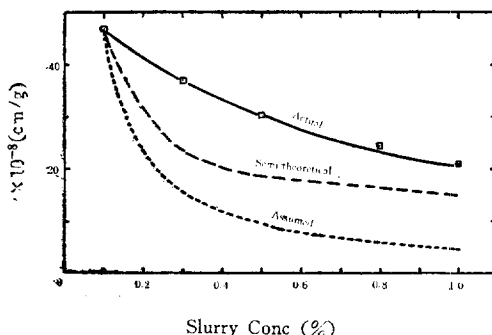


Fig. 6-b. α Changing with the Slurry Concentration for the Precoated Nylon Cloths

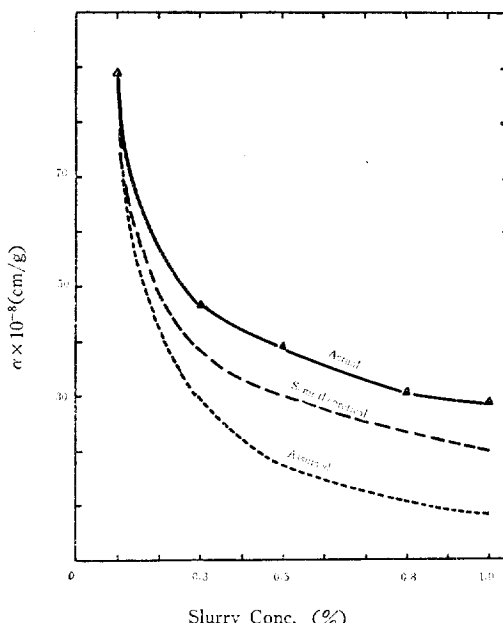


Fig. 6-c. α Changing with the Slurry Concentration for the Glass Filter

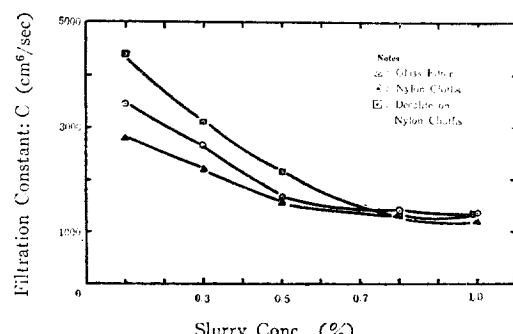


Fig. 7. Filtration Constants vs Slurry Concentration for the 3 Different Media.

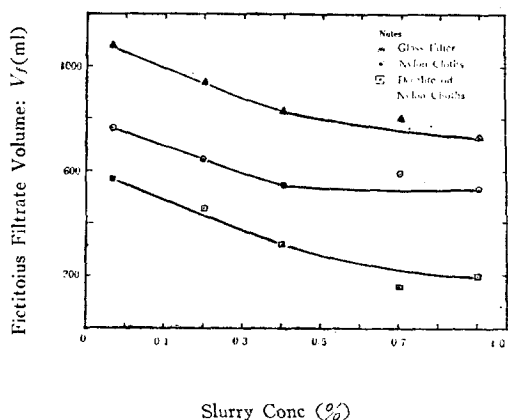


Fig. 8. Fictitious Filtrate Volume vs Slurry Concentration for 3 Different Media.

한 差異를 주고 있다. 그러나 실제로 있어서, <Fig. 6-a, b, c>에 表示된 바와 같이, 各슬러리濃度의 增加에 따라 濾過常數 C 의 値[<Fig. 7>]이 減少하므로 앞에 세운 假定은 不當하다. 즉 C 의 變化에 따라서 α 의 値이 影響을 받는다. 이러한 結果로부터 α 의 $1/C, (1-m\omega)/\omega$ 의 2項에 따라 變하고 그 變하는 程度는 <Fig. 6-a, b, c>에서 破線으로 나타낼 수 있으며 실제로 测定計算된 α 의 値에 더욱 近接함을 알 수 있다.

<Fig. 6>에 破線으로 表示된 準理論值로서의 $\alpha \cdot \omega$ 曲線은 實驗에서決定된 濾過常數 C 의濃度에 대한 變化를 plot한 結果인 <Fig. 7>로부터 얻어지는 値이다.

假想的 濾液부과 V_f 역시 슬러리濃度에 影響을 받는다. 그 結果는 <Fig. 8>에 나타났으며 앞의 假定에서 濾過常數 C 와 V_f 가 슬러리濃度에는 關係없는 常數라면 R 의 値은濃度에 관계없는 一定한 値이되어서 <Fig. 5>에서 水平點線으로 表示되겠지만 실제로는 R 의 V_f 와 C 의 變화때문에 슬러리濃度의 增加에 따라서 增加하는 現象을 보인다.

따라서 슬러리濃度의 变化로 인한 C 와 V_f 의 变化가 實體의 α 및 R 의 値에 影響을 미치므로 α 및 R 의 値이 농도에 따라서 变化함을 確認할 수 있다.

各條件에 따라서 얻어진 實驗值의 結果로부터 R/α 的 値을 計算하면 <Fig. 9>와 같은 結果를 얻는다. Grace에 依하면 R 의 値은 壓力差의 增加에 따라서 增加한다고 하였으나 本實驗에서는 壓力差에 대한 考慮는 하지 않도록 하였고, cake의 두께는 最高 1.5 cm, 最低 0.4 cm程度의 薄은 cake였으므로 R/α 의濃度에 따른 变化的, 低濃度 슬러리의 境遇에, 매우 커서 $R = (0.05 \sim 0.40)\alpha$ 程度가 됨을 알았다.

끝으로 같은 Nylon 布地 濾過膜인 경우에 있어서도

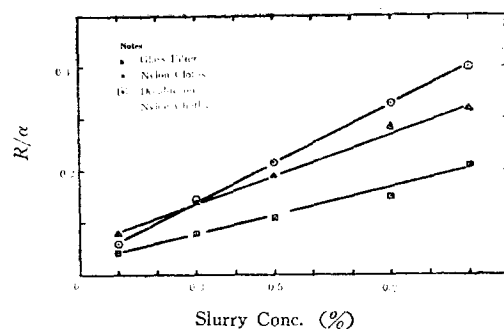


Fig. 9. (R/α) Changing with the Concentration of the Dilute CaCO_3 Slurry.

Decalite Speedplus를 濾過助劑로 使用한 境遇(●標)와 使用치 않은 境遇(○標)에 있어서 R 值나 α 值 모두 差異가 있음을 알 수 있고 市場性이 좋은 Decalite Speedplus 만한 性能의 韓國產 硅藻土를 開發하려면 이 境遇의 濾過特性을 나타낼 정도로, 어떤 方法을 利用하더라도, 改良하여야겠다고 믿는다. 슬러리濃度의 變化에 따라서堆積되는 cake의 空隙率⁽¹⁰⁾의 變化에 대하여도 觀察하였으나 明白한 어떤 結果는 얻을 수 없었으나 거의 一定한 値을 나타냈다.

4. 結論

以上과 같은 實驗結果로서 다음과 같은 結論을 내릴 수 있다.

i) 低濃度 CaCO_3 슬러리를 減壓濾過할 때에 生成되는 cake의 두께가 最高 1.5 cm程度에 있어서 슬러리濃度의 增加에 따라 平均比 cake抵抗值 α 는 減少하고 濾過膜抵抗值 R 는 增加한다.

ii) 抵濃度 CaCO_3 슬러리를 市販 Nylon 布地를 亂은 Büchner Funnel로 濾過할 때 計算된 濾過膜抵抗 R 의 値은 美國製 Decalite Speedplus를 pre-coating한 경우에는 α 의 0.05~0.20倍, pre-coating을 아니한 경우에는 0.05~0.40倍이고, glass filter에 대하여는 0.10~0.30倍 정도로濃度의 增加에 따라漸次增加한다.

記號說明

A : Cross-sectional area of the solid bed normal to net direction of fluid flow, [cm^2]

C : Filtration constant, [cm^6/sec]

g_c : Dimensional constant, [$980 \text{ cm} \cdot \text{g}/\text{g} \cdot \text{sec}^2$]

m : Weight ratio of wet cake to dry cake.

ΔP : Pressure difference across the solid bed, [g/cm^2]

R : Filter-cloth resistance to flow, [cm^{-1}]

V_f : Fictitious filtrate volume, [cm^3]

朴, 姜; 低濃度 炭酸 칼시움 슬러리의 濾過抵抗에 미치는 濃度의 영향

ω : Weight fraction of solids in the slurry

α : Mean specific resistance of the cake, [cm/g]

μ : Viscosity of the filtrate, [g/cm·sec]

ρ : Density of filtrate, [g/cm³]

5. A. B. Cummins, Badollet; Ind. Eng. Chem. Anal. Ed.

5, 328, (1933)

6. E. L. Webber, E. L. McMillen; Trans. Am. Inst. Chem. Engrs. 34, 213, (1938)

7. Badger; Banchero; "Introduction to Chemical Engineering" pp. 579 McGraw-Hill Book Co.

8. Ehlers; Ind. Eng. Chem. 53, 553, (1961)

9. Ehlers; Ind. Eng. Chem. 53, 869, (1961)

10. B. F. Ruth, G. H. Montillon, R. E. Montonna; Ind. Eng. Chem. 25, 76, (1933)

参考文献

1. 朴, 姜; 丘青大學論文輯(第8輯) (1965)
2. H. P. Grace; Chem. Eng. Progr. 49, 367, (1953)
3. B. F. Ruth; Ind. Eng. Chem. 27, 708, (1935)
4. 姜; 青丘大學論文輯(第7輯) pp. 159 (1964)